

Bildverarbeitung

Herbstsemester 2012

A landscape photograph featuring a single, dark tree standing prominently on the crest of a rolling green hill. The sky above is a clear, vibrant blue, punctuated by a few wispy white clouds. The foreground shows the continuation of the grassy slope, leading down towards the bottom of the frame. The overall scene is serene and minimalist.

Filter

Inhalt

- **Lineare und nichtlineare Filter**
- **Glättungsfilter (z.B. Gauss-Filter)**
- **Differenzfilter (z.B. Laplace-Filter)**
- **Lineare Faltung**
- **Separierbare Filter (z.B. Prewitt-Filter)**
- **Impulsfunktion und Impulsantwort**
- **Median-Filter**
- **Implementierung von Filtern**

Lernziele

- **Sie wissen was ein Filter ist und verstehen die Einteilung in lineare und nichtlineare Filter.**
- **Sie begreifen Filter als eine lokale Bildoperation im Gegensatz zu den Punktoperationen.**
- **Sie kennen den Begriff der Impulsfunktion und können damit rechnerisch umgehen.**
- **Sie können einfache, bekannte Filteraufgaben selber effizient implementieren.**

Was ist ein Filter?



- **Lokale Operation**
 - Einbezug von mehreren Bildelementen (Pixels) aus der Region
- **Geometrie des Bildes ändert sich nicht**

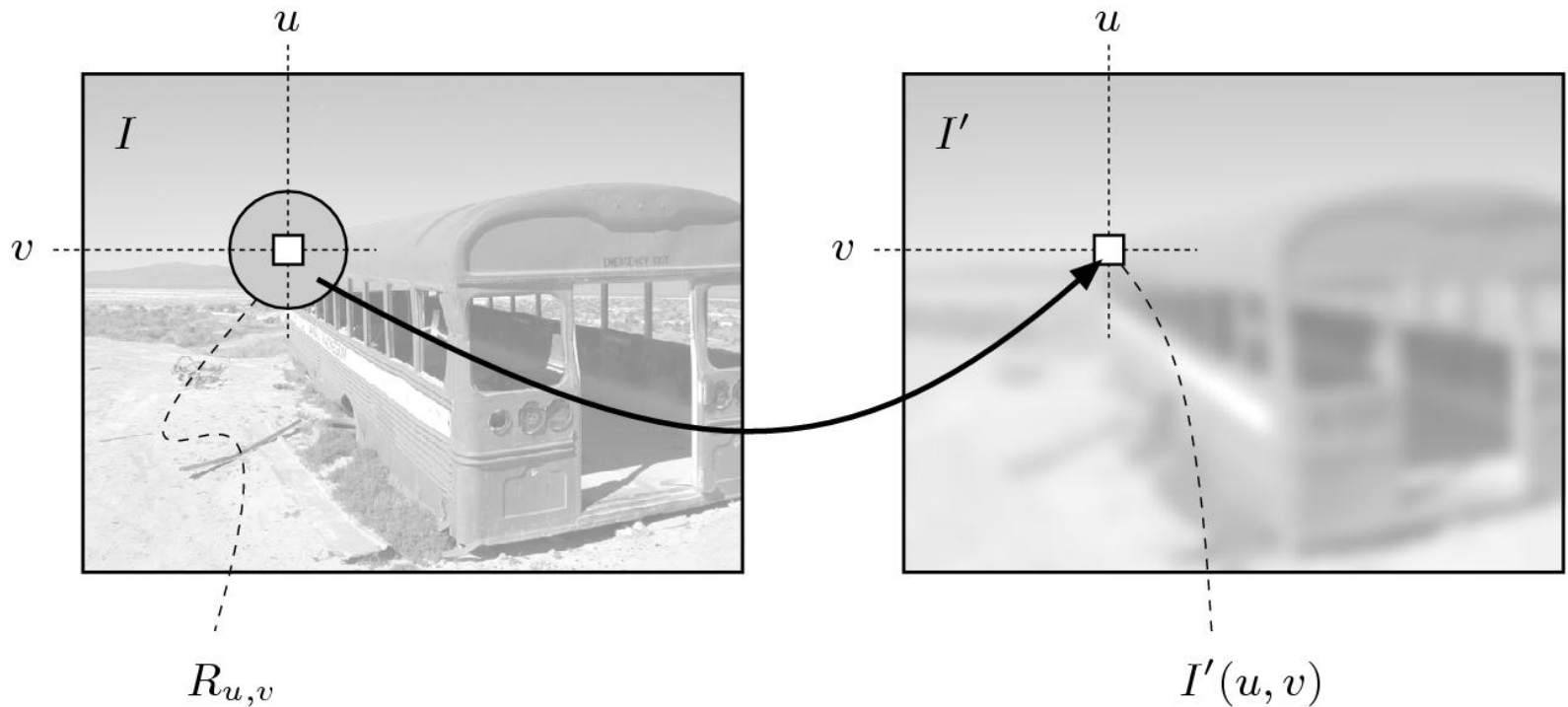
Beispiel: Glättung eines Bildes (1)

- **Bilder sehen scharf aus**
 - wo die Intensität lokal stark ansteigt oder abfällt
 - grosse Unterschiede zu benachbarten Pixeln
- **Bildstellen sehen unscharf aus**
 - wenn die Helligkeitsfunktion glatt ist
- **Ansatz für ein Glättungsfilter (Box-Filter)**

$$I'(u, v) \leftarrow \frac{p_0 + p_1 + p_2 + p_3 + p_4 + p_5 + p_6 + p_7 + p_8}{9}$$

$$I'(u, v) \leftarrow \frac{1}{9} \left[\begin{array}{l} I(u-1, v-1) + I(u, v-1) + I(u+1, v-1) + \\ I(u-1, v) + I(u, v) + I(u+1, v) + \\ I(u-1, v+1) + I(u, v+1) + I(u+1, v+1) \end{array} \right]$$

Beispiel: Glättung eines Bildes (2)



$$I'(u, v) \leftarrow \frac{1}{9} \cdot \sum_{i=-1}^1 \sum_{j=-1}^1 I(u + i, v + j)$$

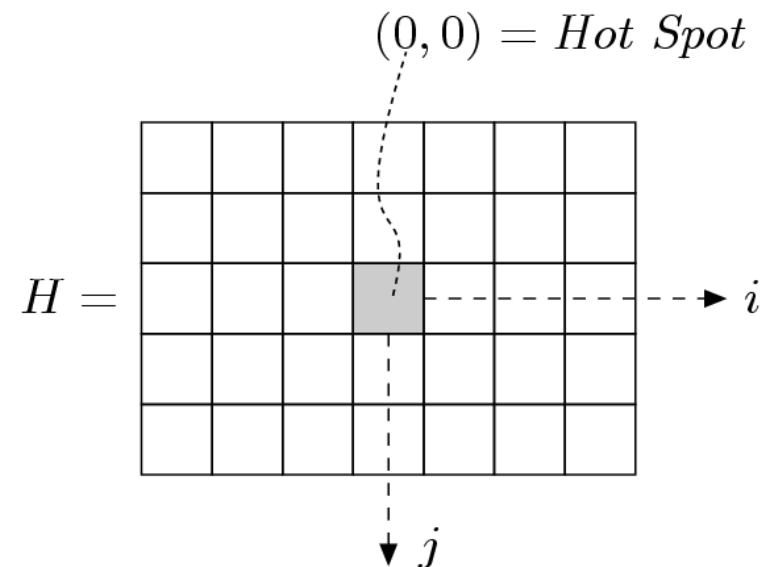
Eigenschaften von Filtern

- **Grösse der Filterregion**
 - **Form der Filterregion**
 - muss nicht quadratisch sein (scheibenförmig ist oft besser)
 - muss nicht zusammenhängend sein
 - muss den Zielpixel nicht enthalten
 - **Gewichtung**
 - nicht alle Pixel der Region müssen mit der gleichen Gewichtung in die Rechnung einbezogen werden
- **Systematische Einteilung von Filtern gefragt**
- **Lineare Filter**
 - Pixel der Region werden mit linearem Ausdruck verknüpft
 - **Nichtlineare Filter**
 - Pixel der Region werden mit nichtlinearem Ausdruck verknüpft

Lineare Filter

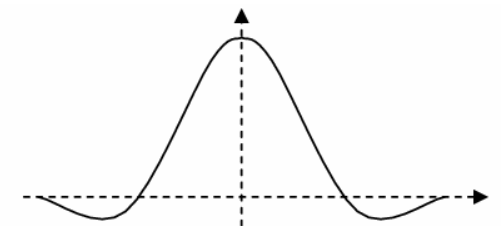
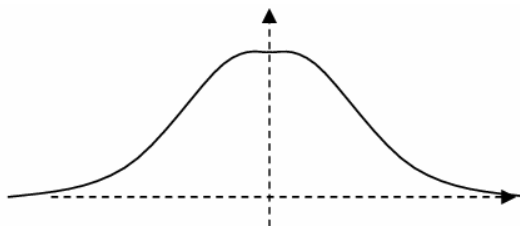
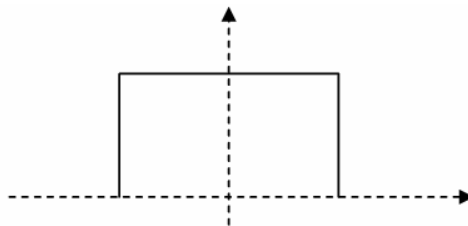
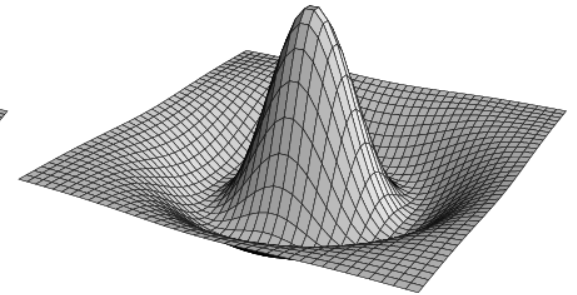
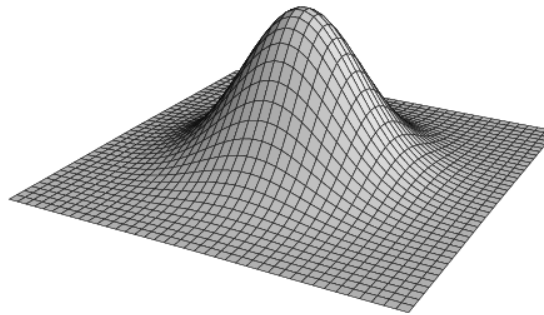
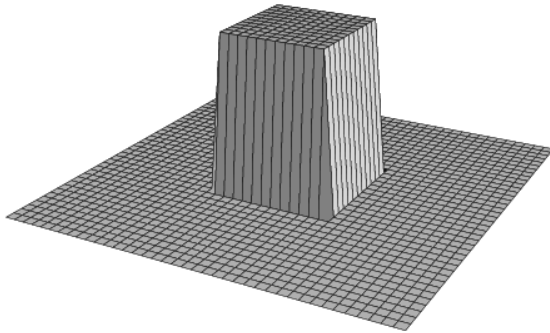
- Pixel werden durch gewichtete Summation verknüpft
 - Beispiel: Glättungsfilter im vorangegangenen Beispiel
- Filtermatrix (Filtermaske) H
 - bestimmt Grösse, Form, Gewichte der Filterregion
 - Hot Spot: Koordinatenursprung der Filtermatrix

$$H(i, j) = \begin{bmatrix} 1/9 & 1/9 & 1/9 \\ 1/9 & 1/9 & 1/9 \\ 1/9 & 1/9 & 1/9 \end{bmatrix}$$



- [Applet 1](#), [Applet 2](#)

Typische lineare Filter

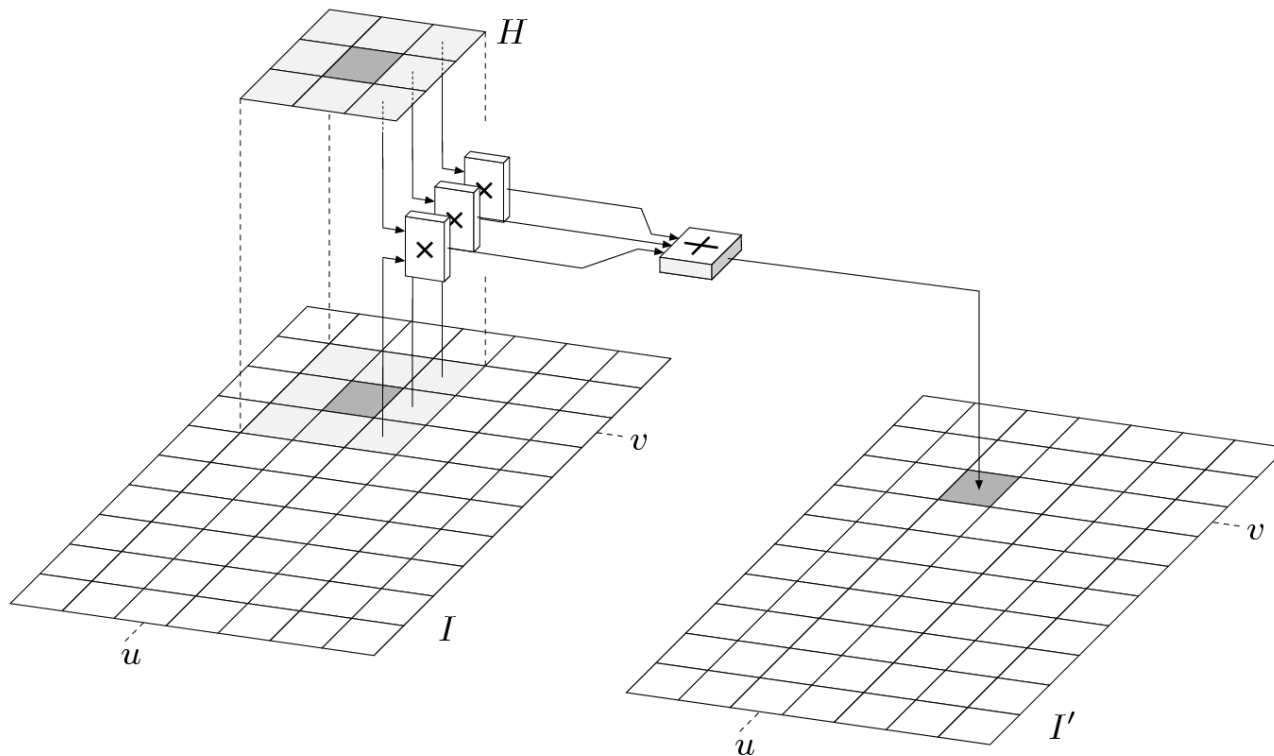


| | | | | |
|---|---|---|---|---|
| 0 | 0 | 0 | 0 | 0 |
| 0 | 1 | 1 | 1 | 0 |
| 0 | 1 | 1 | 1 | 0 |
| 0 | 1 | 1 | 1 | 0 |
| 0 | 0 | 0 | 0 | 0 |

| | | | | |
|---|---|---|---|---|
| 0 | 1 | 2 | 1 | 0 |
| 1 | 3 | 5 | 3 | 1 |
| 2 | 5 | 9 | 5 | 2 |
| 1 | 3 | 5 | 3 | 1 |
| 0 | 1 | 2 | 1 | 0 |

| | | | | |
|----|----|----|----|----|
| 0 | 0 | -1 | 0 | 0 |
| 0 | -1 | -2 | -1 | 0 |
| -1 | -2 | 16 | -2 | -1 |
| 0 | -1 | -2 | -1 | 0 |
| 0 | 0 | -1 | 0 | 0 |

Anwendung des Filters



$$I'(u, v) \leftarrow \sum_{(i,j) \in R} I(u + i, v + j) \cdot H(i, j)$$

Gauss-Filter

- **diskrete, zweidimensionale Gauss-Funktion**

$$G_{\sigma}(r) = e^{-\frac{r^2}{2\sigma^2}}$$

$$G_{\sigma}(x, y) = e^{-\frac{x^2 + y^2}{2\sigma^2}}$$

- **Glättungsfilter (Tiefpassfilter)**
 - weil alle Filterkoeffizienten positiv sind
 - annähernd isotrop ab Filtergrößen von 5 x 5 (nach allen Richtungen hin gleichförmig arbeiten)
 - gutmütiges Frequenzverhalten (stetig, differenzierbar)

Laplace-Filter

- **Interpretation als Differenz von zwei Summen**

$$I'(u, v) = \sum_{(i,j) \in R^+} I(u + i, v + j) \cdot |H(i, j)| \\ - \sum_{(i,j) \in R^-} I(u + i, v + j) \cdot |H(i, j)|$$

- **R^+ : Teil der Filterregion mit positiven Koeffizienten**
 - **R^- : Teil der Filterregion mit negativen Koeffizienten**
- **Verstärken von Kanten und Konturen**
 - **örtliche Intensitätsunterschiede werden verstärkt**
 - **richtungsunabhängige Detektion von Kanten**
 - **Hochpassfilter**

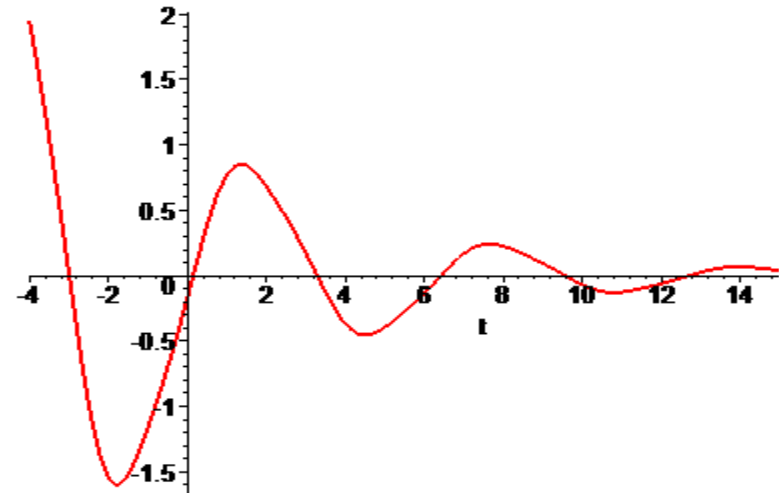
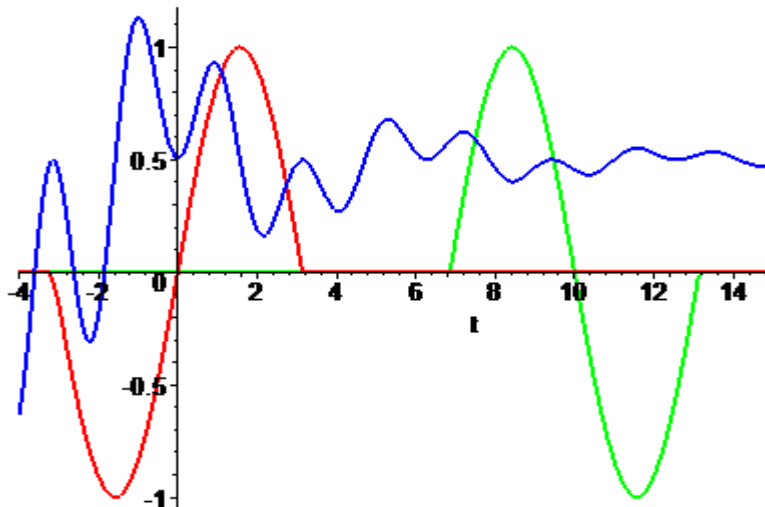
Faltung

- **Definition**

- $f, g : D \rightarrow \mathbb{R}$
- $(f * g)$ ist das Integral über dem Produkt von f mit einer gespiegelten und verschobenen Version von g

$$(f(t) * g(t)) = \int_D f(\tau) g(t - \tau) d\tau$$

- **Beispiel**



Diskrete Faltung

- **Linear Convolution**

$$I'(u, v) = \sum_{i=-\infty}^{\infty} \sum_{j=-\infty}^{\infty} I(u-i, v-j) \cdot H(i, j)$$

$$I' = I * H$$

$$\begin{aligned} I'(u, v) &= \sum_{(i,j) \in R} I(u-i, v-j) \cdot H(i, j) \\ &= \sum_{(i,j) \in R} I(u+i, v+j) \cdot H(-i, -j) \end{aligned}$$

Eigenschaften der Faltung

- **Kommutativität**

$$I * H = H * I$$

- **Linearität**

$$(a \cdot I) * H = I * (a \cdot H) = a \cdot (I * H) \quad .$$

$$(I_1 + I_2) * H = (I_1 * H) + (I_2 * H)$$

- **Assoziativität**

$$A * (B * C) = (A * B) * C$$

Separierbarkeit von Filtern

- **direkte Folge der Assoziativität**

$$I * H = I * (H_1 * H_2 * \dots * H_n) = (\dots ((I * H_1) * H_2) * \dots * H_n)$$

- **x/y-Separierbarkeit**

$$H_x = \begin{bmatrix} 1 & 1 & \underline{1} & 1 & 1 \end{bmatrix} \quad H_y = \begin{bmatrix} 1 \\ \underline{1} \\ 1 \end{bmatrix}$$

$$I' \leftarrow (I * H_x) * H_y = I * \underbrace{(H_x * H_y)}_{H_{xy}}$$

Beispiel: Prewitt-Filter

$$H_x^P = \begin{bmatrix} -1 & 0 & 1 \\ -1 & 0 & 1 \\ -1 & 0 & 1 \end{bmatrix}$$

$$H_y^P = \begin{bmatrix} -1 & -1 & -1 \\ 0 & 0 & 0 \\ 1 & 1 & 1 \end{bmatrix}$$

$$H_x^P = \begin{bmatrix} 1 \\ 1 \\ 1 \end{bmatrix} * \begin{bmatrix} -1 & 0 & 1 \end{bmatrix}$$

$$H_y^P = \begin{bmatrix} 1 & 1 & 1 \end{bmatrix} * \begin{bmatrix} -1 \\ 0 \\ 1 \end{bmatrix}$$

Impulsfunktion (1-D)

- **Impulsfunktion (Dirac-Funktion): $\delta(t - t_0)$**

- Grenzfall ($\tau \rightarrow 0$) eines Rechteckimpulses der Breite τ und der Höhe $1/\tau$ an der Stelle $t = t_0$
- Fläche ist gleich 1
- $\delta(t - t_0)$ ist die Ableitung der Heaviside-Funktion (Schrittfunktion) $h(t - t_0)$

$$\int_{-\infty}^{\infty} \delta(t - t_0) dt = 1$$

- **wichtige Eigenschaft (Abtasteigenschaft)**

$$\int_a^b f(t) \cdot \delta(t - t_0) \cdot dt = \begin{cases} f(t_0), & \text{falls } a \leq t_0 \leq b \\ 0, & \text{sonst} \end{cases}$$

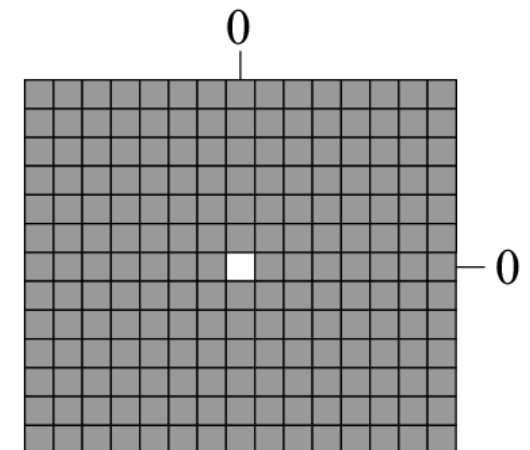
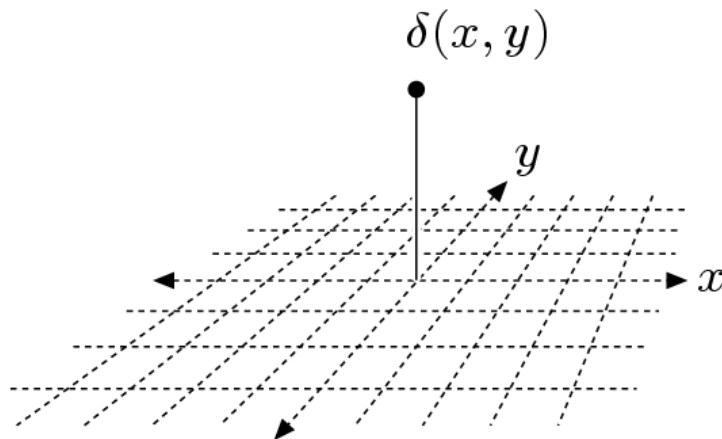
Impulsfunktion (2-D)

- **neutrales Element der Faltung**

$$I * \delta = I$$

- **diskrete Impulsfunktion**

$$\delta(i, j) = \begin{cases} 1 & \text{für } i = j = 0 \\ 0 & \text{sonst.} \end{cases}$$



Einsatz der Impulsfunktion

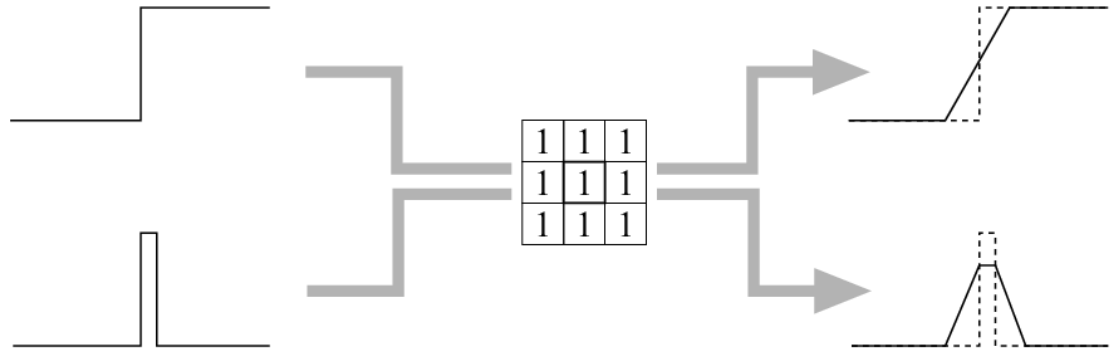
- **als Filterfunktion**
 - wenig interessant, da sich das Ausgangsbild nicht ändert
- **als Eingabe für einen (unbekannten) Filter**
 - viel interessanter, weil sich damit der Filter beschreiben lässt

$$H * \delta = \delta * H = H$$

- In einer Bildbearbeitungssoftware werden verschiedene lineare Filter angeboten, die zwar mit einem Namen versehen sind, von denen Sie aber nicht genau wissen, wie die Filterkoeffizienten aussehen

Nichtlineare Filter

- **Nachteil von linearen Filtern**
 - beim Glätten und Entfernen von Störungen werden auch beabsichtigte Strukturen wie Punkte, Linien und Kanten verwischt



- **Nichtlineare Filter sind in vielen Bereichen überlegen**
 - können aber auch nur beschränkt gewünschte von unerwünschten Strukturen unterscheiden
 - **Beispiele**
 - Minimum- und Maximum-Filter
 - Medianfilter

Minimum- und Maximum-Filter



(a)



(b)

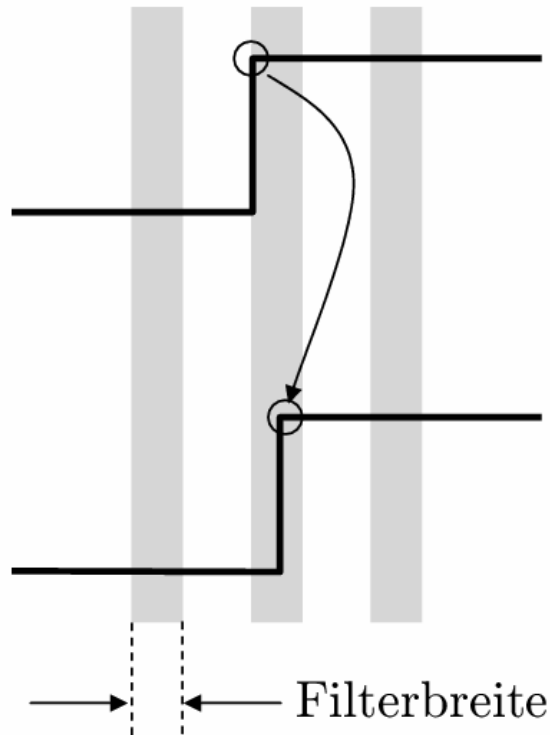


(c)

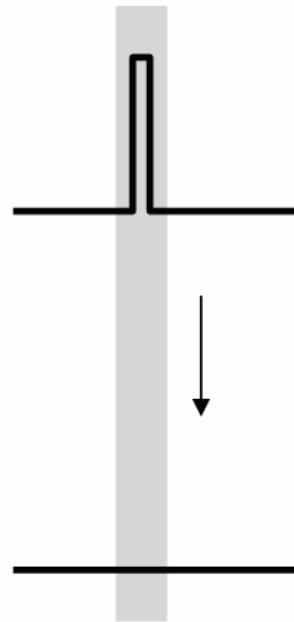
$$I'(u, v) \leftarrow \min \{I(u + i, v + j) \mid (i, j) \in R\} = \min(R_{u,v})$$

$$I'(u, v) \leftarrow \max \{I(u + i, v + j) \mid (i, j) \in R\} = \max(R_{u,v})$$

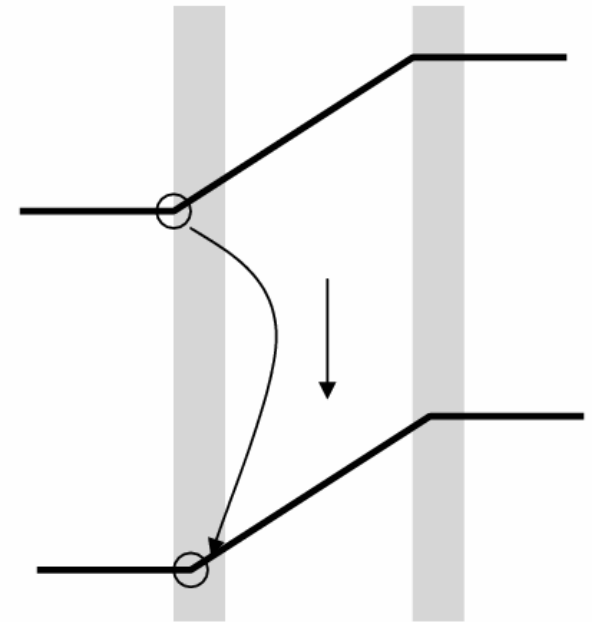
Auswirkungen des Minimum-Filters



(a)



(b)



(c)

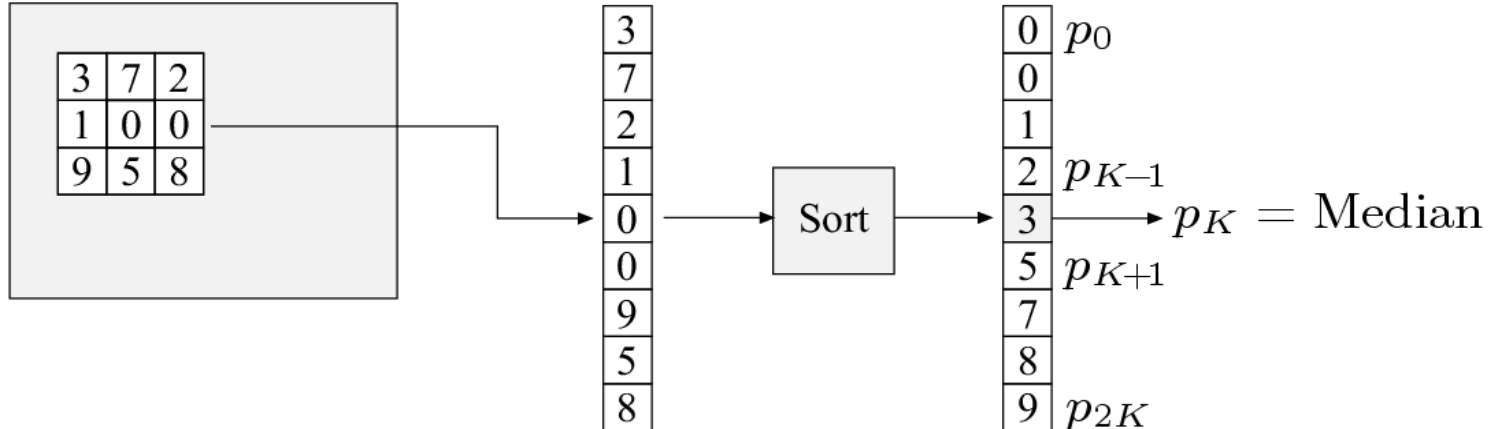
Medianfilter

- **Motivation**

- **Kombination der guten Eigenschaften von Minimum- und Maximum-Filter: Ausreisser eliminieren**

- **Ansätze**

- **einfacher Medianfilter**



- **gewichteter Medianfilter**

- ein mit w gewichteter Pixel geht w -mal in die Folge ein

Beispiel: Medianfilter



(a)



(b)

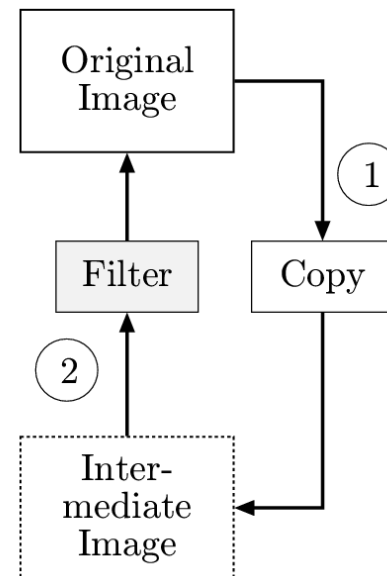
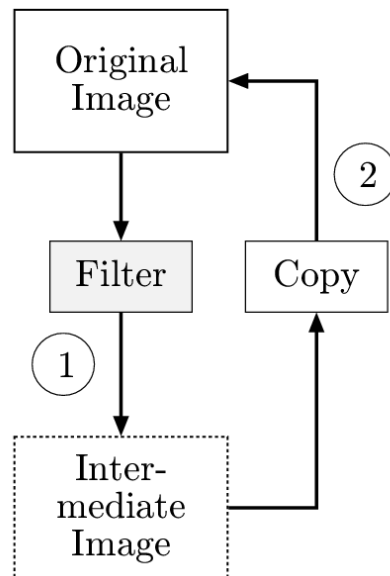


(c)

- a) Original mit Salt-and-Pepper-Rauschen**
- b) nach Anwendung des 3x3-Box-Filters**
- c) nach Anwendung des Medianfilters**

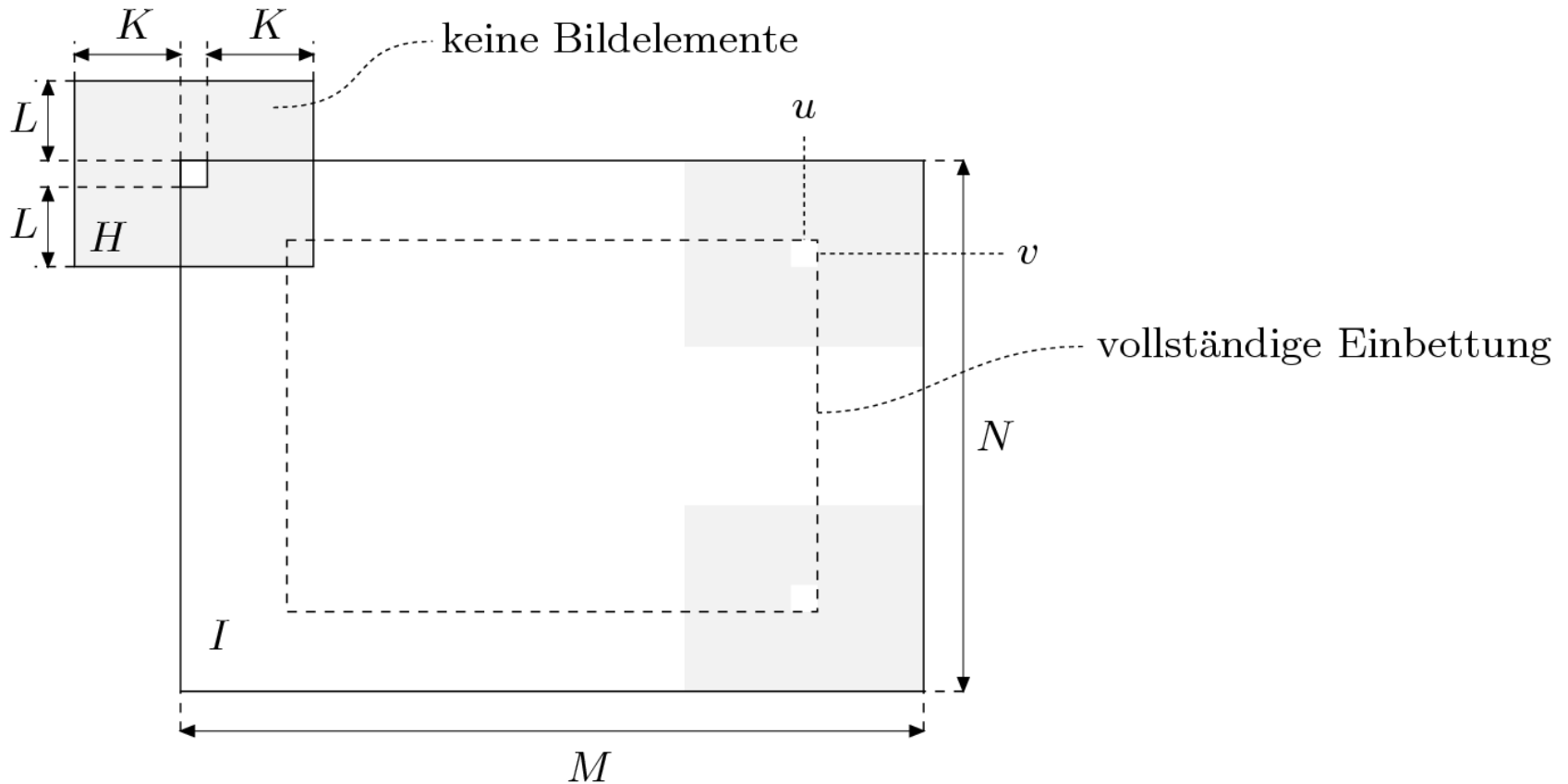
Implementierung von Filtern

- **Effizienz**
 - Laufzeitanalyse mittels Zeitkomplexität (Big-O-Notation) vornehmen
 - separierbare Filter separieren
 - eventuell Reihenfolge und Assoziativität verändern
- **Filteroperationen brauchen einen Zwischenspeicher**

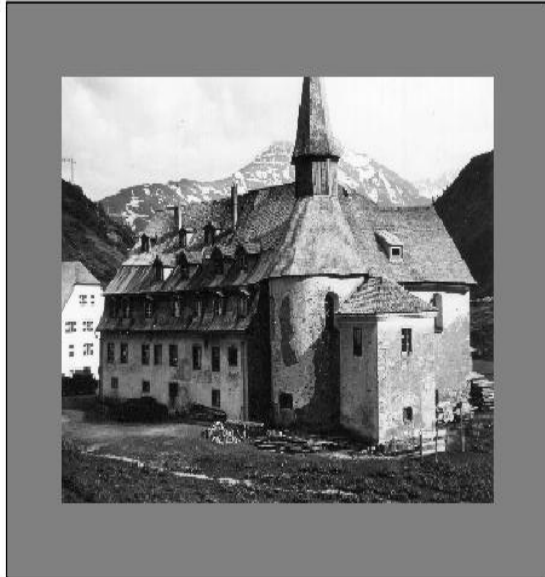


A tall, slender tree stands on a grassy hill under a blue sky with scattered white clouds. The tree is positioned on the left side of the frame, and its shadow is cast onto the grass. The sky is a clear, vibrant blue, and the clouds are soft and white. The grass is a lush green, and the overall scene is peaceful and serene.

Was machen wir an den Bildrändern?



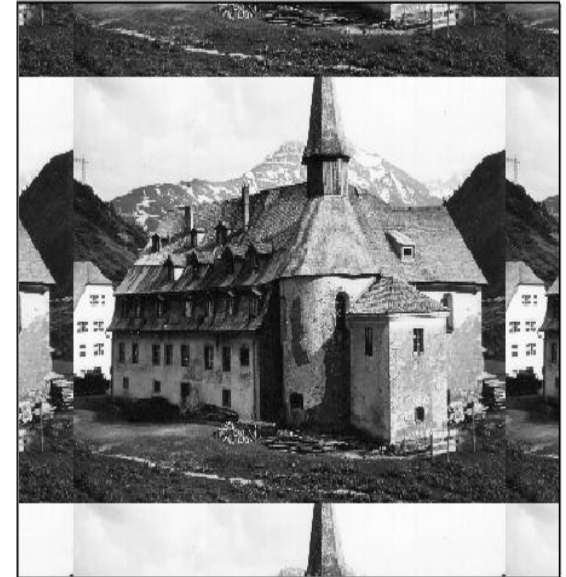
Behandlung der Bildränder (2)



(a)



(b)



(c)